

fabbasi@sbu.ac.ir :

(دریافت مقاله: ۱۳۸۸/۸/۱۲؛ دریافت نسخه نهایی: ۱۳۸۹/۷/۲۰)

MATLAB
۱۰ cm mA mm ° ۲۰ keV
CST Studio Design

در این پژوهش یک مجموعه از الکترودهای شتابدهنده الکترواستاتیکی و یک لنز متمرکز کننده در انتهای آن به کمک حل عددی معادله لاپلاس در فضای خارج باریکه‌ای الکترونی و محاسبه سطوح هم پتانسیل طراحی شده است. مجموعه شتابدهنده شامل دو الکترود با پتانسیل‌های صفر و 60 kV است که میدان الکتریکی مورد نیاز جهت شتاب‌گیری الکترون‌ها را تا انرژی 60 keV که دو برابر مقدار مورد نظر برای انرژی باریکه‌نهایی است فراهم می‌کنند. الکترود 60 kV الکترود شتابدهنده نامیده می‌شود و در یک فاصله مناسب از الکترود صفر (جهت جلوگیری از جرقه زنی بین آنها) قرار می‌گیرد. الکترود متصل به پتانسیل صفر نیز به روزنئه تابش معروف است و در اطراف کاتد تابش کننده الکترون‌ها نصب می‌شود و شکل آن منجر به کاهش واگرایی باریکه‌شتاب گرفته می‌شود.

تحلیل و محاسبات کامپیوتری در اپتیک باریکه‌های الکترونی و یونی اولین بار در سال ۱۹۶۹ به کار گرفته شد [۱]. در سال‌های بعد به دلیل نیاز بیشتر به انواع مختلف دستگاه‌های الکترونی و یا یونی نرم‌افزارهای کامپیوتری به تدریج توسعه بیشتری یافتد. در این میان نرم‌افزارهای شبیه‌سازی میدان‌های الکترومغناطیسی و تراپردازی به یک استاندارد جهانی برای آزمایش‌های فیزیک ذرات باردار تبدیل شده‌اند. MATLAB یک نرم افزار محاسبات و تحلیل عددی بسیار قوی برای حل مجموعه بسیار گسترده‌ای از معادلات و CST Design Studio یکی از قوی‌ترین نرم افزارهای شبیه‌سازی، تحلیل و محاسبات میدان‌های الکتریکی و مغناطیسی است که توانایی شبیه‌سازی مسائل اپتیک باریکه در گستره وسیعی از کاربردها را دارد.

کند در حالی که روی مرز $\theta = 0^\circ$ باید برابر با مقادیر به دست آمده از معادله (۱) باشد. بدینهی است که یون‌های نزدیک لبه باریکه توسط یون‌های در عمق آن پس زده شده و بازشدنگی باریکه را در ناحیه $y > 0$ موجب خواهند شد. با دادن یک زاویه به سطح بدون تابش کاتد در $\theta < 0^\circ$ ، این تمایل به بازشدنگی خشتشی شده و یک باریکه موازی ایجاد خواهد شد [۲]. جواب معادله لاپلاس که مقادیر مورد انتظار را در مرز باریکه به دست خواهند داد برابر است با :

$$V = \left(\frac{9}{4} kI \right)^{\frac{1}{3}} r^{\frac{4}{3}} \cos^{\frac{4}{3}} \theta, \quad (3)$$

که در آن r و θ بردارهای مختصات قطبی در همان دستگاه مختصات قبلی هستند. در نتیجه پتانسیل نه تنها در $x = 0$ که در $\theta = \frac{\pi}{3}$ نیز باید صفر شود. لذا زاویه θ که زاویه سطح بدون تابش کاتد یا همان روزنَه تابش است برابر خواهد بود با:

$$\theta = \frac{2\pi}{8} = 67.5^\circ$$

فرض کنیم معادله $(x, y) = V$ در صفحه x, y معادله مسیر حرکت در یک مرز باریکه باشد. این طور فرض می‌شود که $y = 0^\circ$ نیز یک مسیر حرکت است و لب دیگر باریکه نیز از معادله متقارن $-y = V$ به دست می‌آید. در نتیجه مسیرهای میانی از معادله $cV(x) = y$ به دست خواهد آمد. که در آن c پارامتری است که در فاصله $1 \leq c \leq -1$ تغییر می‌کند. به علاوه، فرض می‌شود که جريان به طور مساوی در سطح مقطع باریکه پخش شده است و چگالی جريان همه جا یکنواخت است.

اگر $V(x, y)$ نمایانگر پتانسیل در باریکه با در نظر گرفتن اثرات بار فضایی باشد، معادلات حرکت برای یک یون با بار e و جرم m برابر خواهد بود با :

$$\frac{d^2x}{dt^2} = \frac{e}{m} \frac{\partial V}{\partial x}, \quad (4)$$

$\frac{d^2y}{dt^2} = \frac{e}{m} \frac{\partial V}{\partial y},$ که در آنها m بر حسب گرم، e بر حسب ایستاکولن و V بر حسب کیلوولت است.

با این حال باریکه نهایی همچنان دارای واگرایی زیادی خواهد بود که آن را برای اکثر کاربردها نامناسب می‌سازد. برای کاهش بیشتر این واگرایی لز مرکز کننده الکترواستاتیکی که به پتانسیل 30 kV یعنی نصف پتانسیل الکتروود شتاب‌دهنده متصل است پس از الکتروود شتاب‌دهنده نصب می‌شود و شکل خاص طراحی آن منجر به متمرکز شدن باریکه شتاب داده شده می‌شود. البته انرژی باریکه را نیز به نصف یعنی مقداری که از ابتدا برای باریکه شتاب داده شده نهایی مورد نظر ما بود کاهش می‌دهد. جزئیات دقیق‌تر این طراحی‌ها در ادامه ذکر شده‌اند. در نهایت نیز مجموعه طراحی شده در نرم افزار CST Design Studio شبیه‌سازی شده، رفتار باریکه الکترونی در آن مورد بررسی قرار گرفته و مشخصات آن با فرض‌های اولیه طراحی مقایسه می‌شوند.

فرض کنیم که کاتد در صفحه $x = 0$ بوده و باریکه به شکل عمود بر این صفحه و در جهت x مثبت تابش می‌شود. برای سادگی محاسبات یک برش طولی دو بعدی از باریکه را در راستای صفحه $z = 0$ بررسی می‌کنیم. بدینهی است که این برش نسبت به محور x متقارن بوده و لذا تعیین نتیجه به سه بعد به سادگی امکان پذیر خواهد بود. اگر باریکه کاملاً موازی حرکت کرده و هیچ واگرایی نداشته باشد، معادله پواسون برای پتانسیل محور آن برابر خواهد بود با :

$$\frac{d^2V}{dx^2} = k \frac{I}{\sqrt{V}}, \quad (1)$$

که در آن V پتانسیل و I جريان در هر نقطه از باریکه و مقداری ثابت است. پاسخ این معادله برای جريان با بار فضایی محدود ($V(0) = V_\infty$ و $V(\infty) = 0$) برابر خواهد بود با :

$$V = \left(\frac{9}{4} kI \right)^{\frac{1}{3}} x^{\frac{4}{3}}. \quad (2)$$

اما در عمل این کاتد تا بی‌نهایت ادامه نداشته و دارای یک حد مشخص و محدود خواهد بود. فرض کنیم کاتد به ازای $y = 0^\circ$ تابش کرده ولی در $y > 0^\circ$ تابش نداشته باشد ($I_{y>0^\circ} = 0$). تا صفحه $y = 0^\circ$ یک مرز باریکه باشد ($y < 0^\circ$ روزنَه تابش خواهد بود). در $y > 0^\circ$ پتانسیل باید در معادله لاپلاس صدق

لذا معادله پواسن برای $y = 0$ برابر خواهد شد با :

$$V''_*(x) + \left(\frac{\partial^* V}{\partial y^*} \right)_{y=0} = \frac{4I}{Y^*(x) \sqrt{\frac{2e}{m} V_*(x)}}, \quad (16)$$

که اجازه حذف عامل $\left(\frac{\partial^* V}{\partial y^*} \right)_{y=0}$ را از معادله (۱۶) می‌دهد:

$$\begin{aligned} & \sqrt{V_*(x)} \frac{d}{dx} \left(\sqrt{V_*(x)} \frac{dy}{dx} \right) + \frac{1}{2} V''_*(x) y \\ &= \frac{2I}{\sqrt{\frac{2e}{m} V_*(x)}} Y^*(x). \end{aligned} \quad (17)$$

اینک اگر $y = Y(x)$ را به عنوان معادله مسیر مرزی باریکه در معادله فوق جایگزین کنیم، نتیجه یک معادله دیفرانسیل خواهد بود که باید معادله پتانسیل در راستای محور باریکه، $V_*(x)$ ، در آن صدق کند:

$$\begin{aligned} & Y(x) V''_*(x) + Y'(x) V'_*(x) + \frac{1}{2} Y^*(x) V_*(x) \\ &= \frac{2I}{Y(x) \sqrt{\frac{2e}{m} V_*(x)}}, \end{aligned} \quad (18)$$

که در آن همان طور که ذکر شد، Y بر حسب سانتیمتر، I بر حسب آمپر، e بر حسب ایستاکولن، m بر حسب گرم و V بر حسب کیلوولت است.

یک شرط اولیه برای حل این معادله، $V_*(0) = 0$ است زیرا پتانسیل در کاتد برابر صفر است. شرط اولیه دیگر شبیه تغییرات پتانسیل در راستای محور باریکه در نقطه صفر است که مقدار آن پتانسیل حداکثر و در نتیجه انرژی نهایی باریکه در محل تمرکز را تعیین می‌کند و انتخاب آن بستگی به مقدار این انرژی دارد.

اینک برای به دست آوردن پتانسیل روی مرز باریکه، عبارت

$$\left(\frac{\partial^* V}{\partial y^*} \right)_{y=0} \text{ را از معادله (۱۶) در (۶) جایگذاری می‌کنیم و}$$

$y = Y(x)$ را نیز در معادله نهایی به دست آمده قرار می‌دهیم:

$$V(x, Y(x)) = V_*(x)$$

$$+ \frac{1}{2} Y^*(x) \left[\frac{4I}{Y^*(x) \sqrt{\frac{2e}{m} V_*(x)}} - V''_*(x) \right], \quad (19)$$

اگر پتانسیل در طول محور x را $V(x)$ بنامیم، یعنی :

$$V(x, 0) = V_*(x) \quad (5)$$

در نتیجه، به دلیل تقارن نسبت به $y = 0$ در $y = 0$ خواهیم

داشت: $\frac{\partial V}{\partial y} = 0$. شرط پیرامحوری به ما اجازه می‌دهد که

پتانسیل را به شکل زیر تخمین بزنیم :

$$V(x, y) = V_*(x) + \frac{1}{2} y^* \left(\frac{\partial^* V}{\partial y^*} \right)_{y=0}, \quad (6)$$

لذا حرکت در جهت x برابر خواهد بود با :

$$\frac{d^* x}{dt^*} = \frac{e}{m} \frac{dV_*(x)}{dx} \quad (7)$$

اگر از این رابطه بر حسب x انتگرال بگیریم خواهیم داشت :

$$\left(\frac{dx}{dt} \right)^* = \frac{2e}{m} V_*(x), \quad (8)$$

و حرکت در راستای y :

$$\frac{d^* y}{dt^*} = \frac{e}{m} y \left(\frac{\partial^* V}{\partial y^*} \right)_{y=0} \quad (9)$$

با استفاده از معادله (۸)، عامل t را از معادله (۹) حذف می‌کنیم :

$$\sqrt{\frac{2e}{m} V_*(x)} \frac{d}{dx} \left(\sqrt{\frac{2e}{m} V_*(x)} \frac{dy}{dx} \right) = \frac{e}{m} y \left(\frac{\partial^* V}{\partial y^*} \right)_{y=0}, \quad (10)$$

و یا :

$$\sqrt{V_*(x)} \frac{d}{dx} \left(\sqrt{V_*(x)} \frac{dy}{dx} \right) = \frac{1}{2} y \left(\frac{\partial^* V}{\partial y^*} \right)_{y=0}. \quad (11)$$

اگر I جریان کل باریکه باشد، چگالی جریان در x برابر خواهد بود با :

$$J = \frac{I}{\pi Y^*(x)}, \quad (12)$$

لذا چگالی بار در x برابر خواهد شد با :

$$\rho = - \frac{I}{\pi Y^*(x) \sqrt{\frac{2e}{m} V_*(x)}}, \quad (13)$$

لذا معادله پواسن برای پتانسیل برابر خواهد شد با :

$$\frac{\partial^* V}{\partial x^*} + \frac{\partial^* V}{\partial y^*} = \frac{4I}{Y^*(x) \sqrt{\frac{2e}{m} V_*(x)}}. \quad (14)$$

با استفاده از معادله (۶) برای $y = 0$ داریم :

$$\frac{\partial^* V}{\partial x^*} = V''_*(x), \quad (15)$$

$$y = \frac{\frac{4I}{Y(x)V''(x)\sqrt{\frac{2e}{m}V_*(x)}}}{\pm \sqrt{\frac{\frac{m}{e}I^*}{Y^*(x)(V''(x))^2 V_*(x)} + \frac{2(V_*(x) - V(x,y))}{V''(x)}}}, \quad (27)$$

که با قرار دادن مقدار $V(x,y)$ در این معادله، سطح هم پتانسیل متناظر با آن $V(x,y)$ در صفحه $z=0$ به دست خواهد آمد.

و یا :

$$V(x,Y) = V_*(x) + \frac{\frac{2I}{\sqrt{\frac{2e}{m}V_*(x)}} - \frac{1}{2}Y^*(X)V''_*(X)}{\sqrt{\frac{2e}{m}V_*(x)}}. \quad (28)$$

اینک معادله پتانسیل را در بیرون مرز باریکه به دست می آوریم. بسط سری توانی $V(x,y)$ را بر حسب توانهای $(y-Y(X))$ بیرون $Y(x)$ تا درجه ۲ می نویسیم :

$$V(x,y) = V(x, Y(x)) + (y - Y(x)) \left(\frac{\partial V}{\partial y} \right)_{y=Y(x)} + \frac{1}{2}(y - Y(x))^2 \left(\frac{\partial^2 V}{\partial y^2} \right)_{y=Y(x)}. \quad (29)$$

با جایگذاری عبارت $\left(\frac{\partial^2 V}{\partial y^2} \right)_{y=Y(x)}$ از معادله (۲۸) در معادله (۶) و سپس مشتق گیری از آن بر حسب y و قرار دادن $y=Y(x)$ در آن خواهیم داشت :

$$\left(\frac{\partial V}{\partial y} \right)_{y=Y(x)} = -\frac{\frac{4I}{Y(x)\sqrt{\frac{2e}{m}V_*(x)}} - Y(x)V''_*(x)}{Y(x)}. \quad (30)$$

به علاوه از معادله لاپلاس برای مرز باریکه داریم :

$$\left(\frac{\partial^2 V}{\partial y^2} \right)_{y=Y(x)} = -\left(\frac{\partial^2 V}{\partial x^2} \right)_{y=Y(x)}. \quad (31)$$

با تقریب خوبی می توان نوشت :

$$\left(\frac{\partial^2 V}{\partial x^2} \right)_{y=Y(x)} = \frac{d^2 V_*(x)}{dx^2}, \quad (32)$$

زیرا خطای این جایگذاری از مرتبه $(x)^2$ است که وقتی در $(y - Y(x))^2$ نیز ضرب شود کاملاً قابل صرف نظر خواهد بود. در نتیجه خواهیم داشت :

$$\left(\frac{\partial^2 V}{\partial y^2} \right)_{y=Y(x)} = -\frac{d^2 V_*(x)}{dx^2}. \quad (33)$$

اینک مقادیر $\left(\frac{\partial^2 V}{\partial y^2} \right)_{y=Y(x)}$ و $\left(\frac{\partial V}{\partial y} \right)_{y=Y(x)}$ را از روابط (۳۰) و (۳۱) در معادله (۲۹) جایگذاری می کنیم. در نهایت برای

پتانسیل در بیرون باریکه خواهیم داشت :

$$V(x,y) = V_*(x) - \frac{1}{2}y^2 V''_*(x) + y \frac{\frac{4I}{Y(x)\sqrt{\frac{2e}{m}V_*(x)}} - Y(x)V''_*(x)}{\sqrt{\frac{2e}{m}V_*(x)}}. \quad (34)$$

با حل معادله فوق بر حسب y خواهیم داشت :

معادله های بسیاری برای مسیر مرزی یک باریکه در یک شتاب دهنده الکترواستاتیکی پیشنهاد شده اند که از میان آنها ما معادله باریکه هایپربولیک را به دلیل ساده تر شدن روش به کار گرفته شده در ادامه برای حل عددی معادلات به کمک نرم افزار

MATLAB انتخاب می کنیم [۳] :

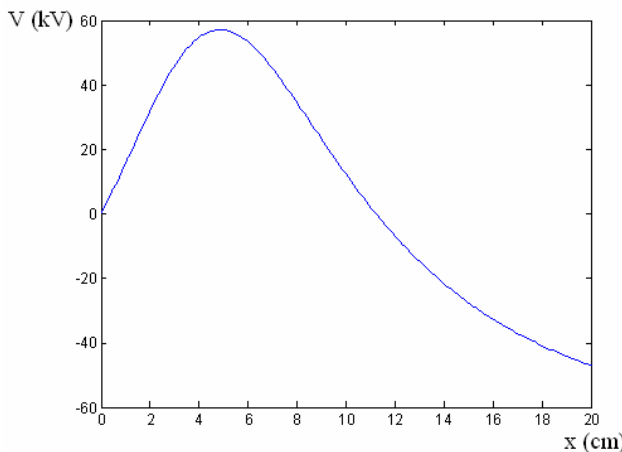
$$Y(x) = Y_m + (Y_* - Y_m) \frac{\left(\frac{x - x_m}{x_m} \right)^2}{1 + \left(\frac{Y_* - Y_m}{x_m} \right) \frac{x}{x_m} \cot \alpha}, \quad (35)$$

که در آن Y_* شعاع باریکه در کاتد بر حسب سانتیمتر، x_m طول محل تمرکز باریکه (محل رسیدن پتانسیل محوری به مقدار حداقل خود) بر حسب سانتیمتر، Y_m شعاع باریکه در محل تمرکز بر حسب سانتیمتر و α زاویه دیورژانس باریکه است.

طراحی را برای یک باریکه فرضی به جریان 2 mA و با شعاع اولیه 4 mm ، شعاع محل تمرکز 2 mm ، دیورژانس 5° و طول کمتر از 10 cm برای کل مجموعه شتاب دهنده و متتمرکز کننده انجام می دهیم که می خواهیم تا انرژی 30 keV شتاب بگیرد. یک باریکه هایپربولیک با این مشخصات دارای فاصله ای برابر با نصف طول کل مجموعه یعنی 5 cm بین محل تمرکز و کاتد و دو برابر انرژی باریکه خروجی یعنی 60 keV در محل تمرکز خواهد بود [۳]. با جایگذاری مقادیر فوق در معادله مسیر مرزی هایپربولیک خواهیم داشت :

$$Y(x) = \frac{x^2 - 10x + 25}{125 + 11/43x},$$

و بر طبق معادله (۳۵) برای پتانسیل محور باریکه خواهیم داشت :

شکل ۱. پتانسیل محور باریکه با شرایط اولیه $V_0 = 0$ و

$$\cdot \left(\frac{dV_0(x)}{dx} \right)_{x=0} = 14$$

جدول ۲. حداکثر خطای نسبی برآش بر حسب درجه منحنی.

درجه منحنی	حداکثر خطای نسبی
۳	% ۱۱/۶
۴	% ۹/۱
۵	% ۵/۸
۶	% ۱/۶
۷	% ۱/۱۵
۸	% ۰/۸

برای به دست آوردن سطوح هم پتانسیل به یک معادله تحلیلی برای $V_0(x)$ نیاز داریم. این معادله را با برآش^۱ یک منحنی چند جمله‌ای بر منحنی پتانسیل محور باریکه به کمک نرم افزار MATLAB به دست می‌آوریم. برآش را از منحنی درجه ۳ آغاز می‌کنیم و هر بار پس از افزایش درجه منحنی، حداکثر خطای نسبی برآش را محاسبه می‌کنیم. جدول ۲ نتایج این محاسبات را نشان می‌دهد.

این نتایج نشان می‌دهند که خطای نسبی برآش برای منحنی درجه ۸ به کمتر از ۱٪ رسیده است که مقدار مناسبی است. در نتیجه منحنی درجه ۸ برآش شده را به عنوان معادله تحلیلی برای پتانسیل محور باریکه انتخاب می‌کنیم. این معادله

جدول ۱. مقادیر پتانسیل حداکثر محور باریکه به ازای مقادیر مختلف شیب اولیه پتانسیل محور باریکه.

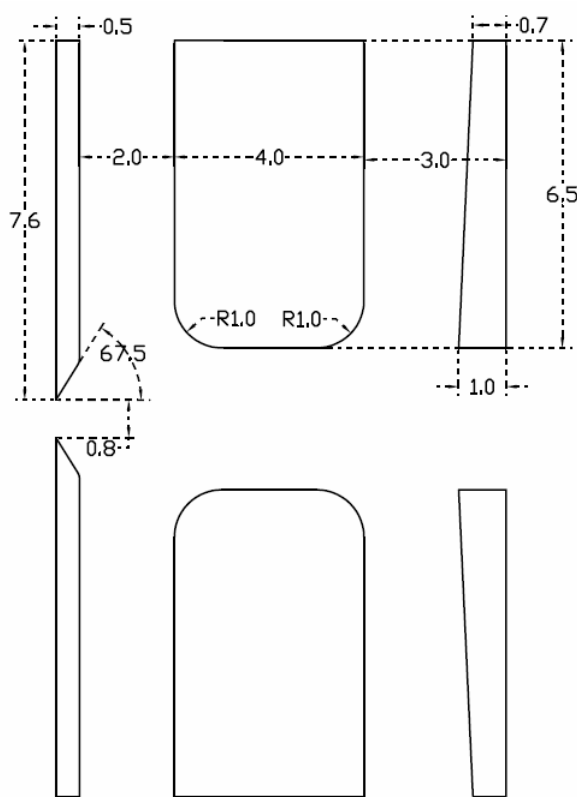
شیب پتانسیل محوری حداکثر باریکه (kV/cm)	پتانسیل محوری حداکثر باریکه (kV)
۱	۴/۱
۲	۸/۲
۵	۲۰/۵
۱۰	۴۱
۱۲	۴۹
۱۳	۵۳
۱۴	۵۷
۱۵	۶۱
۱۶	۶۵

$$Y(x) V_0''(x) + Y'(x) V_0'(x) + 2Y''(x) V_0(x) = \frac{2/45 \times 10^{-11}}{Y(x) \sqrt{V_0(x)}}.$$

اگر این معادله حل تحلیلی داشته باشد این حل بسیار مشکل خواهد بود. ما این معادله را به روش عددی و به کمک نرم افزار MATLAB حل می‌کنیم. می‌خواهیم باریکه الکترونی توسط الکترودهای متصل به پتانسیل ۶۰ kV شتاب بگیرد لذا لازم است تا پتانسیل حداکثر محور باریکه در محل باریکه قدری کمتر از این مقدار برسد. با داشتن یک شرط اولیه $V_0 = 0$ و با تغییر تدریجی شیب پتانسیل محور باریکه در نقطه $x = 0$ (شرط اولیه دوم برای حل معادله پتانسیل محوری) و محاسبه پتانسیل حداکثر محور باریکه، شیب اولیه مناسب برای پتانسیل محوری را به دست می‌آوریم. مقادیر پتانسیل حداکثر محور باریکه به ازای مقادیر مختلف شیب اولیه پتانسیل محور باریکه در جدول ۱ نشان داده شده است.

مشاهده می‌شود که پتانسیل حداکثر محور باریکه به ازای شیب اولیه 14 kV/cm برابر 57 kV است که مقدار مناسبی است. در نتیجه شرط اولیه دوم در حل معادله پتانسیل محور باریکه را $\left(\frac{dV_0(x)}{dx} \right)_{x=0} = 14$ قرار می‌دهیم. شکل ۱ پتانسیل محور باریکه الکترونی با شرایط اولیه $V_0 = 0$ و $\left(\frac{dV_0(x)}{dx} \right)_{x=0} = 14$ را نشان می‌دهد.

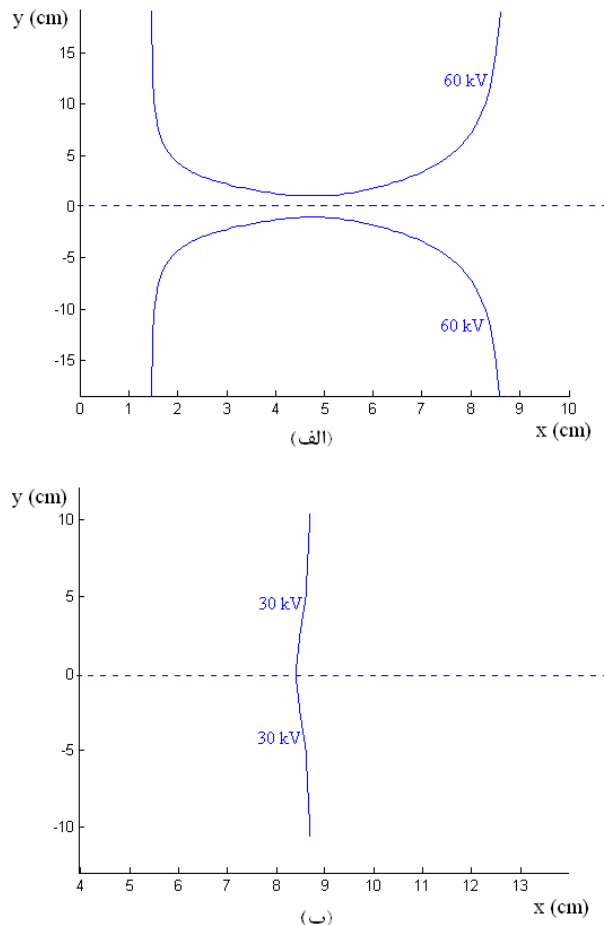
۱. Fit



شکل ۳. مجموعه روزنہ تابش و الکترود شتابدهنده و لنز متمرکز کننده.

الکتروودها بر سطوح به دست آمده امکان پذیر نیست. لذا شکل نهایی الکتروودها و روزنہ تابش اندکی با سطوح هم پتانسیل به دست آمده متفاوت خواهد شد که تأثیر این تغییرات اعمال شده در تعیین شکل این الکتروودها در ادامه و در بخش بحث و نتیجه‌گیری بررسی خواهد شد. شکل ۳ مجموعه این الکتروودها و روزنہ تابش را نشان می‌دهد.

مجموعه روزنہ تابش و الکترود شتابدهنده و لنز متمرکز کننده را مطابق طراحی انجام شده در نرم افزار CST Studio Design و در حالت Particle Tracking مدل می‌کنیم. شبیه‌سازی را در حالت بار فضایی محدود^۱ و برای باریکه الکترونی تابیده شده از کاتد به شعاع ۴ میلیمتر و با فعال کردن کد E-Static Solver انجام می‌دهیم. شکل ۴ میدان الکتریکی بین الکتروودها و شکل ۵



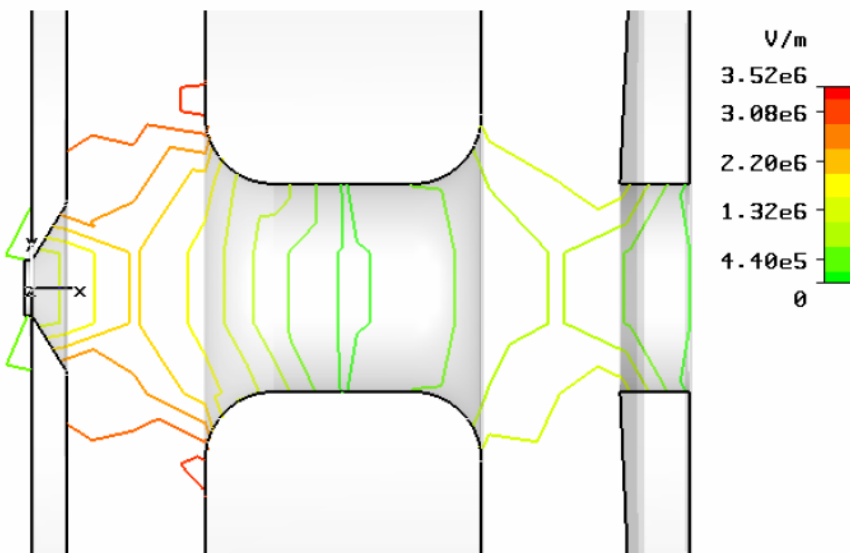
شکل ۲. سطوح هم پتانسیل (الف) ۶۰ kV و (ب) ۳۰ kV

عبارت است از :

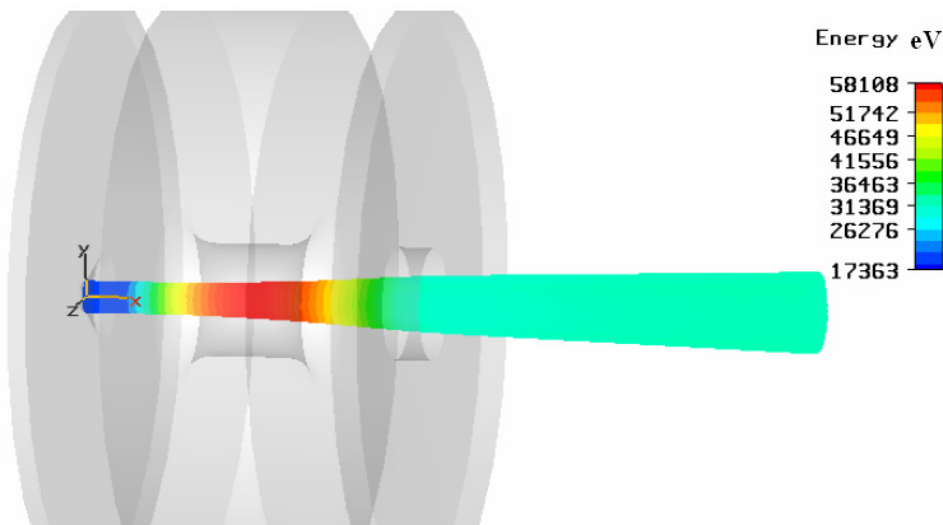
$$\begin{aligned} V(x) = & -2/7225 \times 10^{-7} x^8 + 1/5942 \times 10^{-5} x^7 \\ & -2/1042 \times x^6 - 0/005 \times x^5 \\ & +0/1798 \times x^4 - 1/9075 \times x^3 \\ & +5/9972 \times x^2 + 10/3622 \times x + 0/8629 \end{aligned} \quad (29)$$

سپس با قرار دادن این معادله و مشتقهای آن در معادله (۲۷) و قرار دادن $V(x,y) = 60$ و $V(x,y) = 30$ در آن، به ترتیب سطوح هم پتانسیل ۶۰ kV و ۳۰ kV را به دست خواهیم آورد. شکل ۲ این سطوح را نشان می‌دهد.

در نهایت روزنہ تابش را با پتانسیل صفر و زاویه ۶۷/۵ در اطراف کاتد قرار داده و الکتروود شتابدهنده و لنز متمرکز کننده را نیز بر سطوح هم پتانسیل به دست آمده منطبق می‌کنیم. البته به دلیل ملاحظات عملی نظیر امکان جرقه زنی بین الکتروودها و امکان پذیر بودن ساخت آنها، تطبیق کامل



شکل ۴. میدان الکتریکی درون مجموعه شتاب‌دهنده و لنز.



شکل ۵. باریکه الکترونی شتاب گرفته در مجموعه شتاب‌دهنده و لنز.

نهایی باریکه نیز برابر $31/4 \text{ keV}$ به دست آمده که از مقدار مورد نظر یعنی 30 keV فاصله چندانی ندارد. سایر پارامترهای مشخصه باریکه نظیر x_m ، y_m و انرژی حداکثر باریکه در محل تمرکز نیز تنها مربوط به مراحل شتاب‌گیری و پیش از خروج باریکه الکترونی از مجموعه بوده و لذا مقدار آنها تنها در مرحله طراحی اهمیت دارد. لذا وقتی باریکه نهایی خارج شده از مجموعه شتاب‌دهنده و متراکز کننده مشخصات موردنظر را داشته باشد، اختلاف این پارامترها از فرض‌های اولیه طراحی

باریکه الکترونی شتاب گرفته در اثر این میدان را نمایش می‌دهد. مشخصات این باریکه نیز در جدول ۳ درج شده است.

همان طور که در جدول ۳ مشاهده می‌شود، واگرایی نهایی باریکه که کاهش مقدار آن هدف اصلی این پژوهش می‌باشد در شبیه‌سازی $3/4^{\circ}$ به دست آمده است که حتی از فرض اولیه طراحی یعنی 5° نیز کمتر و در نتیجه مناسب‌تر است. انرژی

جدول ۳. مشخصات باریکه الکترونی شتاب گرفته در مجموعه شتاب دهنده و لنز.

دیورژانس باریکه خروجی	$3/4^{\circ}$
Y_s	$0/4 \text{ cm}$
Y_m	$0/34 \text{ cm}$
x_m	3 cm
انرژی حداکثر باریکه	$58/1 \text{ keV}$
انرژی باریکه خروجی	$31/4 \text{ keV}$

شد، این مقادیر تاثیری بر پارامترهای باریکه خروجی نداشته و باریکه خروجی مشخصات مورد انتظار را دارد.

لذا مشاهده می شود که نتایج به دست آمده از شبیه سازی به فرض های اولیه در نظر گرفته شده در طراحی بسیار نزدیک است که درستی روش به کار گرفته شده در تحلیل و طراحی این مجموعه را نشان می دهد و اختلافات جزئی مشاهده شده نیز به دلیل تقریب های اعمال شده به دلیل ملاحظات عملی در انتخاب شکل الکترود شتاب دهنده و لنز متمرکز کننده از روی سطوح هم پتانسیل 60 kV و 30 kV است. با بررسی تغییرات در رفتار باریکه الکترونی در پی تغییر مشخصات سیستم، می توان سایر پارامترهای موثر در عملکرد این مجموعه شتاب دهنده و متمرکز کننده را نیز مشخص کرد

دیگر اهمیتی ندارد. اختلاف به وجود آمده در این نتایج و فرض های اولیه طراحی همان طور که در بخش طراحی ذکر شد نتیجه ملاحظات عملی در نظر گرفته شده برای انتخاب شکل الکترود های شتاب دهنده است. چرا که این الکتروودها کاملاً بر سطوح هم پتانسیل محاسبه شده منطبق نیستند. در نتایج شبیه سازی انرژی حداکثر باریکه برابر $58/1 \text{ keV}$ و بسیار نزدیک به فرض اولیه طراحی یعنی 57 keV است. شعاع باریکه در محل مرکز، Y_m ، نیز برابر $3/4 \text{ mm}$ به دست آمده که البته با مقدار در نظر گرفته شده در طراحی یعنی 2 mm فاصله نسبتاً زیادی دارد. همین طور فاصله محل مرکز باریکه تا کاتد، x_m ، که در شبیه سازی 3 cm به دست آمده اما مقدار فرض شده برای آن در طراحی 5 cm است. اما همان طور که ذکر

- (2005) 126.
 3. R K Wakerling, *U.S. Naval Radiological defense laboratory*, June (1949) 234-236, 252-254.

1. M M Abdelrahman. *Journal of Nuclear and Radiation Physics*, 3 (2) (2008) 93.
2. S I Molokovsky & A D Sushkov “*Intense Electron and Ion Beams*”, Springer Verlag Berlin Heidelberg